

Wykład XIV

Komutacyjne algebry liczb
i ich reprezentacje

2020/21



W ustypnej kolejności zbadamy działanie
 $W(E, R)$ na zbiorze komuat Weyla (210)
(patrz: obsewne 2) ze th. 202),
co doprowadzi nas do dyskretnej
reprezentacji systemu pierwiastkowy...

Str. 36. Niech (E, R) będzie systemem pierwiastkowym.
 $\forall \Delta$ -baza (E, R) : $W(E, R) = \langle W_\alpha \mid \alpha \in \Delta \rangle$.

Działanie $W(E, R)$ na zbiorze otwartych komuat
Weyla jest przechodnie.

D: Ustawmy bazę Δ i rozważmy podprzestrzeń $W_\Delta \equiv \langle w_\alpha \mid \alpha \in \Delta \rangle \subset W(E, \mathbb{R})$. (211)

Niech C będzie dowolnym odcinkiem (zakresem) w \mathbb{R}^n .

Wybierzmy $v \in \mathcal{E}(E, \mathbb{R}; \Delta)$ i $w \in C$. Pokażemy,

że $\exists \chi \in W_\Delta : \chi(w) \in \mathcal{E}(E, \mathbb{R}; \Delta)$. W tym celu

wyberzmy $\chi_* \in W_\Delta$ spełniające warunek

$$\|\chi_*(w) - v\| = \min_{\chi \in W_\Delta} \|\chi(w) - v\|$$

(jest dobrze określone, gdyż $|W_\Delta| \leq |W(E, \mathbb{R})| < \infty$).

Załóżmy, że $\chi_*(w) \notin \mathcal{E}(E, \mathbb{R}; \Delta)$, a wtedy

$\exists \alpha \in \Delta : \langle \alpha | \chi_*(w) \rangle < 0$, co prowadzi do sprzeczności, że
- wobec $\langle v | \alpha \rangle > 0$ -

$$\| \chi_*(w) - v \|^2 - \| w_\alpha \circ \chi_*(w) - v \|^2$$


$$\equiv (\chi_*(w) - v | \chi_*(w) - v) - (w_\alpha \circ \chi_*(w) - v | w_\alpha \circ \chi_*(w) - v)$$

$$= (\cancel{w | w}) - 2(\chi_*(w) | v) + (\cancel{v | v})$$

$$- (\cancel{w | w}) + 2(w_\alpha \circ \chi_*(w) | v) - (\cancel{v | v})$$

0
^

$$= 2(\cancel{\chi_*(w)} - 2 \frac{(\chi_*(w) | \alpha)}{(\alpha | \alpha)} \alpha - \cancel{\chi_*(w)} | v) = -4 \frac{(\chi_*(w) | \alpha) \cdot (\alpha | v)}{(\alpha | \alpha)}$$

czyli $\|w_\alpha \circ \chi_* (u) - v\| < \min_{x \in W_\Delta} \|\chi(u) - v\|$  (213)
(coś jak $w_\alpha \circ \chi_* \in W_\Delta$).

Zatem $\chi_* (u) \in \mathcal{E}(E, R; \Delta)$, co wobec dowolności u oznacza, że C zawiera odwzorowanie $\mathcal{E}(E, R; \Delta)$ ujęte w W_Δ , a ponieważ $\chi_* \in W_\Delta$ zachowuje łąki, jest pełne, że χ_* przekształca całą kolumnę C w $\mathcal{E}(E, R; \Delta)$, czyli $\chi_*(C) = \mathcal{E}(E, R; \Delta)$.
W takim razie ...

$\forall C_1, C_2$ - dwie komnaty Weyla

(214)

$\exists \chi \in W_\Delta : \chi(C_1) = C_2$, co oznacza,

że W_Δ - tym bardziej niż W - może
przedstawić nam zbiorze komnat.

Przostałe przelewność się, je $W_\Delta = W$.

Rozważmy $\alpha \in R$. W świetle Str. 35

$\exists \Delta(\alpha)$ kawa : $\alpha \in \Delta(\alpha)$, więc tej - $\mathbb{E}(E, R; \Delta(\alpha))$.

Ustalmy $\chi \in W_\Delta : \chi(\mathbb{E}(E, R; \Delta(\alpha))) = \mathbb{E}(E, R; \Delta)$.
Potrzebujemy...

Satz: $\forall \alpha \in \mathbb{R} \quad \forall \chi \in W(E, \mathbb{R}) :$

$$W_{\chi(\alpha)} = \chi \circ W_{\alpha} \circ \chi^{-1}.$$

(215)

DZ: $\forall v \in E : W_{\chi(\alpha)}(v) \equiv v - 2 \frac{(v | \chi(\alpha))}{(\chi(\alpha) | \chi(\alpha))} \triangleright \chi(\alpha)$

$$= \chi(\chi^{-1}(v)) - 2 \frac{(\chi(\chi^{-1}(v)) | \chi(\alpha))}{(\chi(\alpha) | \chi(\alpha))} \triangleright \chi(\alpha)$$

$$= \chi \left(\chi^{-1}(v) - 2 \frac{(\chi^{-1}(v) | \alpha)}{(\alpha | \alpha)} \triangleright \alpha \right)$$

\nearrow
 \mathbb{R} -Linearität
& Isometrie von χ

$$\equiv \chi(W_{\alpha}(\chi^{-1}(v))) . \quad \square$$

W następnym kolejności dowodzenia

8Pr. 37. $\forall C$ - skończona komuta Weyla

(216)

$$\forall \sigma, w \in \bar{C} \quad \forall \chi \in W(E, R) : (w = \chi(v) \Rightarrow w = v).$$

D: Zauważmy że

Lemat: Niech Δ będzie bazą R i niech

$\chi \in W(E, R) \setminus \{id_E\}$. Ustalmy ROZKŁAD MINIMALNY

$\chi = w_{d_1} \circ w_{d_2} \circ \dots \circ w_{d_n}$, $d_i \in \Delta$, tj. taki, w którym M jest

niezmienne z względu. Wówczas $\mathbb{E}(E, R; \Delta)$

i $\chi(\mathbb{E}(E, R; \Delta))$ leży po przeciwnych stronach Π_{d_1} .

DL: ^(indeksujący wył. M) Jeśli $\chi \neq \text{id}_E$, to $M \geq 1$. Jeśli $M=1$,
 to $\chi = w_{\alpha_1}$, a wtedy $\chi(\mathbb{E}(E, R; \Delta)) \equiv w_{\alpha_1}(\mathbb{E}(E, R; \Delta))$ 217
 jest odbiciem $\mathbb{E}(E, R; \Delta)$ w hiperpłaszczyźnie Π_{α_1} ,
 zgodnie z tezą.

Zostajemy, że teza jest słuszna dla χ
 o rzędności minimalnej l o stopni $< M$.

Niech $\chi = w_{\alpha_1} \circ w_{\alpha_2} \circ \dots \circ w_{\alpha_M}$ i rozważamy $\underline{\chi} := w_{\alpha_1} \circ w_{\alpha_2} \circ \dots \circ w_{\alpha_{M-1}}$.

Rzeczywiście $\underline{\chi}$ jest minimalny, gdyżby inaczej
 nie był, rzędność χ nie byłaby minimalną.

wobec założenia. Na mocy założenia indukcyjnego

$\underline{\chi}(\mathbb{E}(E, R; \Delta))$ i $\mathbb{E}(E, R; \Delta)$ leżą po przeciwnych

(218)

stronach Π_{d_1} . Gdyby zatem $\underline{\chi}(\mathbb{E}(E, R; \Delta))$

leżał po tej samej stronie Π_{d_1} co $\mathbb{E}(E, R; \Delta)$,

to również $\underline{\chi}(\mathbb{E}(E, R; \Delta))$ i $\underline{\chi}(\mathbb{E}(E, R; \Delta))$ leżałyby

po przeciwnych stronach Π_{d_1} , $\underline{\chi}''(w_{d_1}(\mathbb{E}(E, R; \Delta)))$

czyli tej - wobec odwracalności $\underline{\chi}$ -

$\mathbb{E}(E, R; \Delta)$ i $w_{d_1}(\mathbb{E}(E, R; \Delta))$ leżałyby po przeciwnych

stronach $\underline{\chi}^{-1}(\Pi_{d_1}) = \Pi_{\underline{\chi}^{-1}(d_1)}$.

Okazuje się jednak, że istnieje dokładnie jedna hiperstosująca $\Pi_\beta, \beta \in \mathbb{R}$ o tej własności, że $E(E, R; \Delta)$ i $W_{d_M}(E(E, R; \Delta))$ są po przeciwnych stronach Π_β - jest to Π_{d_M} . Istotnie,

$E(E, R; \Delta)$ i $W_{d_M}(E(E, R; \Delta))$ są po przeciwnych stronach Π_{d_M} , a przy tym $\Pi_{d_M} = \partial E(E, R; \Delta) \cap \partial W_{d_M}(E(E, R; \Delta))$ więc więc $\sigma \in \partial E(E, R; \Delta) \cap \Pi_{d_M} \setminus \bigcup_{\beta \in \mathbb{R} \setminus \{d_M\}} \Pi_\beta$

a wtedy odcięci $\{\sigma + t \cdot d_M \mid t \in [-\epsilon, \epsilon]\}$ dla dostatecznie małego $\epsilon > 0$ zawiera są tylko siebie

$\exists \xi(E, R; \Delta)$ i $w_{d_M}(\xi(E, R; \Delta))$ i mi przejście
 jednej $\Pi_\mu, \mu \in R \setminus \{\pm d_M\}$, czyli odpowiednie pary wektorów
 $(v + t d_M, v - t d_M)$ są po tej samej stronie (220)
 odpowiednich $\Pi_\beta, \beta \in R \setminus \{\pm d_M\}$.

Wróćmy do wcześniejszego rozumowania,
 konstatając, że gdyby $\xi(E, R; \Delta)$
 i $w_{d_M}(\xi(E, R; \Delta))$ leżały po przeciwnych stronach
 $\underline{\chi}^{-1}(\Pi_{d_1}) = \Pi_{\underline{\chi}^{-1}(d_1)}$, to byłoby $\Pi_{\underline{\chi}^{-1}(d_1)} \equiv \Pi_{d_M}$,

czyli tej - w trójce Lemata ze th. 215 -

$$W_{dM} \equiv W_{\underline{X}^{-1}(a_1)} = \underline{X}^{-1} \circ W_{a_1} \circ \underline{X}, \text{ a to daoby } \textcircled{221}$$

$$\underline{X} \equiv \underline{X} \circ W_{dM} = W_{a_1} \circ \underline{X} \equiv (W_{d_1} \circ W_{d_1}) \circ W_{d_2} \circ \dots \circ W_{d_{M-1}}$$

$= W_{d_2} \circ W_{d_3} \circ \dots \circ W_{d_{M-1}}$, czyli reprezentacja

X kwadratowa ($0 \ 2$) od minimalnej. $\color{red}{\Sigma} \square$

Możemy jej przystąpić do dalszej

skraczania.

Przejdźmy do metody indukcyjnej wzgl. stopnia L
rozkładu minimalnego χ w odniesieniu $w_{\alpha}, \alpha \in \Delta_c$ (2.2)

Jeśli $L=0$, to $\chi = id_E$ i tego jest spełniona
funkcja. Zauważmy, że jest ona spełniona

też, gdy $L < M$. Niech teraz $\chi = w_{\alpha_1} \circ w_{\alpha_2} \circ \dots \circ w_{\alpha_n}$

będzie rozkładem minimalnym. W dalszej

leźmy $E(E, R; \Delta_c) \equiv C$ i $\chi(E(E, R; \Delta_c))$ leży

po przeciwnych stronach Π_{α_1} i

$$\chi(\overline{E(E, R; \Delta_c)}) \cap E(E, R; \Delta_c) \subset \Pi_{\alpha_1}$$

co oznacza, że $\chi(v) \equiv w \in \Pi_{\alpha_1}$, więc dalej (223)

$$w_{\alpha_1} \circ \chi(v) = w_{\alpha_1}(w) \stackrel{\downarrow}{=} w$$

$$\stackrel{\subseteq}{=} \underbrace{w_{\alpha_2} \circ w_{\alpha_3} \circ \dots \circ w_{\alpha_M}}_{\chi}(v), \text{ czyli}$$

$$\underline{\chi}(v) = w \text{ dla } v, w \in \mathcal{F}(\mathbb{R}; \Delta_c) \equiv \mathbb{C},$$

ale rozważ $\underline{\chi}$ na długości $M-1$,
więc możemy zastosować założenie indukcyjne,
czyli stwierdzić, że w takim razie $v = w$.

□

Dotychczasowe utalenie dotarczopy uozzyci
do \mathbb{R} wozzyci uozzyci uozzyci \mathbb{R} (224)

Sbr. 38. Dziahanie $W(\mathbb{F}, \mathbb{R})$ na zbiorze obrzoty
komut Weyla jest swobodne. Ponadto
 $\forall C$ -obrza komuta Weyla $\forall v \in C \forall \chi \in W(\mathbb{F}, \mathbb{R})$:

$$\chi(v) = v \implies \chi = \text{id}_E.$$

D: Niech C bzdnie obrzoty komuta Weyla
i niech $\chi \in W(\mathbb{F}, \mathbb{R})$ takie, je $\chi(C) = C$,
a wtedy $\forall v \in C: \chi(v) \in C$, wiec na mocy

Str. 37 zachodzi $\forall v \in C: \chi(v) = v$. Stąd też
 $\chi|_C = \text{id}_C$, ale to oznacza, że $\chi \equiv \text{id}_E$, (225)
bo w świetle Str. 34 C zawiera bazy Δ_C
przebiegiem E .

Ponadto, gdyż dla pewnego $v \in C$ jest
 $\chi(v) = v$, to w świetle obserwacji 2) z th. 202
jest $\chi(C) = C$, a to na mocy ogólnej
udowodnionej tezy implikuje $\chi = \text{id}_E$. \square

Mamy też

Str. 39. $\forall \Delta_1, \Delta_2$ - bazy $R \exists! \chi \in W(E, R)$: 226
 $\Delta_2 = \chi(\Delta_1)$.

D: Baza $\Delta_A, A \in \{1, 2\}$ wyznacza otwórz \mathbb{C} -moduł
Weyla - $\mathbb{E}(E, R; \Delta_A)$. Wobec niepodzielności
i jednoznaczności dekadentem \mathbb{C} -modułu
 $W(E, R)$ na zbiory otwórz \mathbb{C} -modułów Weyla
(Str. 38 i 36, odpowiednio) $\exists! \chi \in W(E, R)$:
 $\mathbb{E}(E, R; \Delta_2) = \chi(\mathbb{E}(E, R; \Delta_1))$. Ale χ pochodzi

$\chi(\partial E(E, R; \Delta_1)) = \partial E(E, R; \Delta_2)$, więc

też $\chi(\Delta_1) = \Delta_2$. \square

(227)

Dopuszczamy

Str. 40. Niech C - skończona komuta Weyla
 \uparrow niech $v \in E$. $\exists! \alpha \in \overline{C} \cap N(E, R)(v)$.

D: Niech $v \in E$, więc też $v \in \overline{C}_v$, gdzie
 \overline{C}_v jest pewną skończoną komutą Weyla.

Na mocy Str. 36 $\exists \chi \in N(E, R): C = \chi(C_v)$,
a wtedy także $\chi(\overline{C}_v) = \overline{C}$, zatem $\chi(v) \in \overline{C}$,

czyli $W(E, R)(v) \cap \bar{C} \neq \emptyset$.

Przy tym jeśli istnieje $w \in W(E, R)(v) \cap \bar{C}$ 228

to $\chi(v)$ i w są w tej samej odcięci v ,

czyli $\exists \tilde{\chi} \in W(E, R) : w = \tilde{\chi}(\chi(v))$,

a to oznacza — w świetle Str. 37 —

$w \equiv \chi(v)$. □

Na zakończenie tej części wszyscy rozważań!
dowodzenia ...

Str. 41. Niech Δ będzie bazą R ; i niech $\alpha \in \Delta$. $\forall \beta \in R_+^\Delta : (\beta \neq \alpha \Rightarrow w_\alpha(\beta) \in R_+^\Delta)$, (229)
 czyli w_α jest permutacją pierwiastków dodatnich
 różnych od α .

D: Niech $\beta = \sum_{\delta \in \Delta} n^\delta \delta$, przy czym $\beta \neq \alpha$
 implikuje $\exists \delta_* \in \Delta \setminus \{\alpha\} : n^{\delta_*} > 0$.

Na mocy algorytmu (SP3) $w_\alpha(\beta) = \beta - N\alpha$
 dla pewnej liczby $N \in \mathbb{Z}$, a wobec tego

$$w_\alpha(\beta) = \sum_{j \in \Delta} \tilde{n}^{\delta_j} \alpha_j, \text{ gdzie } \tilde{n}^{\delta_j} = \begin{cases} n^\alpha - N & \text{dla } j = \alpha \\ n^{\delta_j} & \text{w pp.} \end{cases} \quad (230)$$

W szczególności $\tilde{n}^{\delta^*} = n^{\delta^*}$.

Ale $\mathcal{R} = \mathcal{R}_+^\Delta \cup \mathcal{R}_-^\Delta$, stąd więc

$\tilde{n}^{\delta^*} > 0$, do tego pozostałe $\tilde{n}^{\delta_j \neq \delta^*} \geq 0$,

zatem $w_\alpha(\beta) \in \mathcal{R}_+^\Delta$. \square

~~X~~

Dotychczasowe rozważania przygotowały nas do podjęcia
 wyzwania klasyfikacji systemów niemiernotłokowych...

Def. 26. Niedziej (E, R) będzie systemem
 pierwiastkowym o bazie $\Delta = \{\alpha_i\}_{i \in \bar{1, r}}$. (231)

DIAGRAM DYNKINA s.p. (E, R) to graf

o r wierzchołkami $\{\nu_i\}_{i \in \bar{1, r}}$ położonymi

w przestrzeni $e_{ij} = (\vec{\nu}_i, \nu_j)$, $i, j \in \bar{1, r}$ wedle reguł:

(patrz: $\bullet \angle(\alpha_i, \alpha_j) = \frac{\pi}{2} \Rightarrow e_{ij} = \begin{matrix} \circ & \text{---} & \circ \\ \nu_i & & \nu_j \end{matrix}$ ^{n_1, n_2 linii} (patrz: str. 176)

Str. 29. $\bullet \angle(\alpha_i, \alpha_j) = \frac{2\pi}{3} \Rightarrow e_{ij} = \begin{matrix} \circ & \text{---} & \circ \\ \nu_i & & \nu_j \end{matrix} : \|\nu_i\| = \|\nu_j\|$

31.) $\bullet \angle(\alpha_i, \alpha_j) = \frac{3\pi}{4} \Rightarrow e_{ij} = \begin{matrix} \circ & \text{---} & \circ \\ \nu_i & & \nu_j \end{matrix} : \|\nu_i\| = \sqrt{2} \|\nu_j\|$

$\bullet \angle(\alpha_i, \alpha_j) = \frac{5\pi}{6} \Rightarrow e_{ij} = \begin{matrix} \circ & \text{---} & \circ \\ \nu_i & & \nu_j \end{matrix} : \|\nu_i\| = \sqrt{3} \|\nu_j\|$

Dwa diagramy Dynkinne są nazywane RÓWNOWAŻNYMI jeśli istnieje bijekcja między zbiorem ich niezależnych zachowujących się je kowadzie (należy i „zrost”).

OBSERWACJA: W d'nielle str. 39. i w konsekwencji zachowanie przy $\mathcal{L}(E, R)$ jest to i d'upodci dwadzie dwie bazy (E, R) są's równoważne diagramy Dynkinne, w tym zatem sensie diagram Dynkinne jest towarzyszący z systemem nieskończonym, nie zaś - z konkretną bazą.

many iluzorne

Tw. 12. System pierwiastkowy jest niezwykłym
wtedy i tylko wtedy, gdy jego diagram Dynkina
jest spójny.

Ponadto diagramy Dynkina dwóch systemów
pierwiastkowych są równoważne wtedy i tylko
wtedy, gdy te systemy są izomorficzne.

D: Jeżeli \Rightarrow system liniowy (E, R)

wspiera się na podsystemy :

$$(E, R) = (E_1, R_1) \oplus (E_2, R_2),$$

wybieramy bazę (E, R) w postaci $\Delta_1 \oplus \Delta_2$,

gdzie Δ_A jest bazą (E_A, R_A) , $A \in \{1, 2\}$. Wtedy podnie

kneważde wydział niezgodności należą

do dwóch roznych podbaz : Δ_1 i Δ_2 są zerowe,

zatem stopień jest nieparzysty.

E | odwrotnie, jeśli stopień dyferencja (E, R) jest nieparzysty, baza Δ rozpada się na podzbiory

wzajem ortogonalne, $\Delta_1 \oplus \Delta_2 = \Delta$.

W takim przypadku rozje $E = \langle \Delta \rangle_{\mathbb{R}}$

(235)

$\simeq \underbrace{\langle \Delta_1 \rangle_{\mathbb{R}}}_{E_1} \oplus \underbrace{\langle \Delta_2 \rangle_{\mathbb{R}}}_{E_2}$. Oznaczmy $R_A := R \cap E_A$.

Łatwo widzieć, że (E_A, R_A) , $A \in \{1, 2\}$ są systemami pierwiastkowymi. Jedyne układowe układowe układowe układowe to (SP_3) , a ściślej: Musimy pokazać,

że $\forall \alpha, \beta \in R_A: \beta - 2 \frac{(\beta|\alpha)}{(\alpha|\alpha)} \alpha \in R_A$. Oznaczmy

$\omega_\alpha(\beta) \in \mathbb{R}$, pozostaje zatem upewnić się, że

$W_\alpha(\beta) \perp R_{A'}$, gdje A' jest neki od tih dijelova. (236)

$$\text{Ali } \forall \gamma \in R_{A'} : (W_\alpha(\beta) | \gamma) = (\beta | \gamma) - 2 \frac{(\beta | \alpha)}{(\alpha | \alpha)} \cdot (\alpha | \gamma) \\ \equiv 0. \quad \checkmark \quad \begin{array}{c} \text{"} \\ 0, \text{ bo } \beta \perp \gamma \\ \text{"} \end{array} \quad \begin{array}{c} \text{"} \\ 0, \text{ bo } \alpha \perp \gamma \\ \text{"} \end{array}$$

Jest μ tj. tj. ograđena, je A_A jest baza (E_1, E_2) .

Pogotovo pokazati, je $\forall \alpha \in R : \alpha \in R_1 \vee \alpha \in R_2$.

W slične str. 36 : $W(E, R) = \langle W_\alpha | \alpha \in \Delta_1 \oplus \Delta_2 \rangle$,

a poniraj $\forall \alpha \in \Delta_A : W_\alpha |_{E_{A'}} = \text{id}_{E_{A'}}$, tj. to

$W(E, R) = W(E_1, R_1) \times W(E_2, R_2)$, tj. tj. $W(E_{A'}, R_A) = \langle W_\alpha | \alpha \in \Delta_A \rangle$
dijela djeluju na $E_{A'}$.

Skoro jednak $\forall \alpha \in R$ jest - we mocy Str. 35-
elementem pierwszej bazy, a $W(E, R)$ zbiór 237
- w świetle Str. 34 i 35 - przechodnio na zbiorze

bazy R , to jest prawdziwe, że $\exists X \equiv (X_1, X_2) \in W(E, R)$:
 $\alpha \in X(\Delta_1 \oplus \Delta_2) \equiv X_1(\Delta_1) \oplus X_2(\Delta_2)$ (wszaki X jest
izometryzmem),

czyli $\alpha \in X_A(\Delta_A) \subset R_A$. \square

Przechodząc do drugiej części tego Twierdzenia,
konstruujemy dynamikę ugięcia $\mathbb{K} \equiv$,
gdzie \mathbb{K} w przypadku $\mathbb{K} \Rightarrow$ ograniczamy się

Do cyfrowości, w której oba diagramy
Dyuklina są spójne, więc tej - w trójkąt (238)
wyciągniętych ustalen - oba systemy przedstawi
są nieporównywalne.

Rozważmy zatem systemy (E_A, R_A)

• dwómi rodzajami $\Delta_A = \{a_i^A\}_{i \in \bar{1}, r}$ uporządkowanych
tak, że izomorfizm diagramów Dyuklina
przyporządkowuje $v_i^1 \leftrightarrow v_i^2, i \in \bar{1}, r$.

$N_A(E_2, R_2)$ składowym i tego samego składowym

wędkie schematu: $\langle \cdot | \cdot \rangle_2 \mapsto \frac{\langle \alpha_1^1 | \alpha_1^1 \rangle_1}{\langle \alpha_1^2 | \alpha_1^2 \rangle_2} \langle \cdot | \cdot \rangle_2$ (239)

wyrażenie tym sposobem można $\stackrel{||}{=} \langle \cdot | \cdot \rangle_2^{\sim}$,

* $\langle \alpha_1^2 | \alpha_1^2 \rangle_2^{\sim} = \langle \alpha_1^1 | \alpha_1^1 \rangle_1$. Jako że kreślono

$e_{1j \neq 1}^1$ to identyczne z odpowiednimi kreślonymi

$e_{1j \neq 1}^2$, przyto (1) $\frac{\langle \alpha_1^2 | \alpha_j^2 \rangle_2^2}{\langle \alpha_1^1 | \alpha_1^1 \rangle_1 \langle \alpha_j^1 | \alpha_j^1 \rangle_1} = \frac{\langle \alpha_1^1 | \alpha_j^1 \rangle_1^2}{\langle \alpha_1^1 | \alpha_1^1 \rangle_1 \langle \alpha_j^1 | \alpha_j^1 \rangle_1}$

$\langle \alpha_1^2 | \alpha_j^2 \rangle_2^{\sim 2} = \frac{\langle \alpha_1^2 | \alpha_j^2 \rangle_2^{\sim 2}}{\langle \alpha_j^1 | \alpha_j^1 \rangle_1} \cdot \langle \alpha_1^1 | \alpha_j^1 \rangle_1^2$ $\frac{\langle \alpha_1^2 | \alpha_j^2 \rangle_2^{\sim 2}}{\langle \alpha_1^2 | \alpha_1^2 \rangle_2^{\sim} \cdot \langle \alpha_j^2 | \alpha_j^2 \rangle_2^{\sim}}$

\cdot równań tegoż $\chi(\alpha_1^2, \alpha_j^2) = \chi(\alpha_1^1, \alpha_j^1)$

$$(2) \frac{\langle \alpha_j^2 | \alpha_j^2 \rangle_2}{\langle \alpha_1^2 | \alpha_1^2 \rangle_2} = \frac{\langle \alpha_j^1 | \alpha_j^1 \rangle_1}{\langle \alpha_1^1 | \alpha_1^1 \rangle_1} \stackrel{(*)}{\Leftrightarrow} \langle \alpha_j^2 | \alpha_j^2 \rangle_2^{\sim} = \langle \alpha_j^1 | \alpha_j^1 \rangle_1 \quad (240)$$

$$\stackrel{|||}{=} \frac{\langle \alpha_j^2 | \alpha_j^2 \rangle_2^{\sim}}{\langle \alpha_1^2 | \alpha_1^2 \rangle_2^{\sim}}$$

• równość stronach
 dotyczy nie niezależnych
poziomych (\neq)

3 warunki powyższych warunków

odczytujemy: $\langle \alpha_1^2 | \alpha_j^2 \rangle_2^{\sim} = \langle \alpha_1^1 | \alpha_j^1 \rangle_1$

$$\langle \alpha_j^2 | \alpha_j^2 \rangle_2^{\sim} = \langle \alpha_j^1 | \alpha_j^1 \rangle_1 \quad (\text{dla } j \neq 1)$$

Porównajcie to z równościami w poprzednim

do każdego λ niezachodzą $\neq 1$

ustalimy - wobec spójności obu dróg -
tożsamość wszystkich (odnośnych) liczb i dążeń
u bazyli obu systemów, stwierdzając
tym samym, że jedynie \mathbb{R} -liniowe
rozszerzenie przyporządkowania

$$\alpha_i^1 \longmapsto \alpha_i^2$$

jest izometryz : $(E_1, \langle \cdot | \cdot \rangle_1) \cong_{\mathbb{R}} (E_2, \langle \cdot | \cdot \rangle_2^{\sim})$,

(241)

α zatem - w rzeczywistości -

(242)

$$\forall i \in \bar{n} : \tau \circ W_{\alpha_i^1} = W_{\alpha_i^2} \circ \tau$$

$$\begin{aligned} \text{Jest więc, } \forall \beta \in E_1 : \tau \circ W_{\alpha_i^1}(\beta) &= \tau \left(\beta - 2 \frac{\langle \beta | \alpha_i^1 \rangle}{\langle \alpha_i^1 | \alpha_i^1 \rangle} \alpha_i^1 \right) \\ &= \tau(\beta) - 2 \frac{\langle \beta | \alpha_i^1 \rangle}{\langle \alpha_i^1 | \alpha_i^1 \rangle} \tau(\alpha_i^1) = \tau(\beta) - 2 \frac{\langle i^{-1} \circ \beta | i^{-1}(\alpha_i^1) \rangle}{\langle i^{-1}(\alpha_i^1) | i^{-1}(\alpha_i^1) \rangle} \tau(\alpha_i^1) \\ &= \tau(\beta) - 2 \frac{\langle \tau(\beta) | \alpha_i^2 \rangle}{\langle \alpha_i^2 | \alpha_i^2 \rangle} \alpha_i^2 \equiv W_{\alpha_i^2} \circ \tau(\beta). \end{aligned}$$

W twierdzenie 8.34 i 8.35 dowodząc pierwszą część $\alpha \in R_1$

możemy zapisać w postaci

$$\alpha = W_{\alpha_{i_1}^1} \circ W_{\alpha_{i_2}^1} \circ \dots \circ W_{\alpha_{i_N}^1} (\alpha_j^1)$$

243

gdzie pewny $j, i_1, i_2, \dots, i_N \in \overline{1, r}$. W takim razie

pednak
$$\iota(\alpha) = W_{\alpha_{i_1}^2} \circ W_{\alpha_{i_2}^2} \circ \dots \circ W_{\alpha_{i_N}^2} (\alpha_j^2) \in R_2$$

(wzale $W(E_2, R_2)$ zachowuje R_2). Analogicznie
polegujemy, że $\iota^{-1}(R_2) \subset R_1$, gdyż atlegnie

koniecz

$$\iota|_{R_1}: R_1 \cong R_2, \text{ który koniecy}$$

demo¹⁹.

□

3 potrozenia Th. 10 i 12. wprowadzamy
statne dla nas

(244)

Corollarium Niechaj g będzie potprostą a.l.
o zwartej formie ujemnej k i niech
 k będzie jej podokreślony. Coż to odpowiada
wykoni k ujemnej podokreślony. Wykoni
u k . Wówczas g jest prosta wtedy i tylko
wtedy, gdy 2 dzieli $2k+1$ (to i, $Q(g, k)$)
jest prostą.